С. В. Юшко

КИНЕМАТИЧЕСКИЕ ХАРАКТЕРИСТИКИ ТУРБУЛЕНТНОГО НЕИЗОТЕРМИЧЕСКОГО СТАЦИОНАРНОГО ТЕЧЕНИЯ ГАЗА В ТРУБЕ

Ключевые слова: Турбулентное стационарное течение газа в трубе, неизотермичность.

Проведено исследование стационарного неизотермического турбулентного потока, а также сравнение интегральных характеристик турбулентного пограничного слоя.

Keywords: Stationary turbulent gas flow in tube, nonisothermal.

The research of stationary nonisothermal turbulent flow as well as comparison of integral parameters of turbulent boundary layer has been carried out.

Представленные в данной работе исследования проводились в рамках цикла работ, направленных на изучение влияния тепловой и гидродинамической нестационарности на характеристики расхода газовых потоков для нужд промышленных предприятий Российской Федерации в целях повышения качества учета и оптимизации потребления энергоносителей.

Исследования проводились в круглой трубе с подоводом и без тепла. Исследования проводились на газодинамическом стенде открытого типа с забором воздуха из термостабилизированной комнаты. Измерения кинематических характеристик потока проводилось с помощью термоанемометра постоянной температуры.

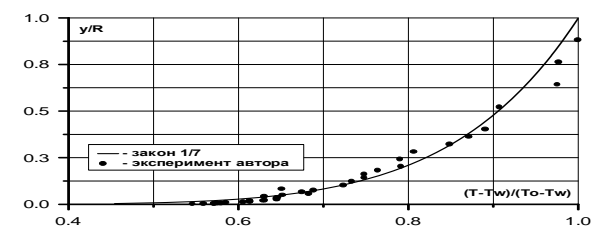


Рис. 1 - Профиль температуры в сечении рабочего участка, W₀=25 м/с

На рис. 1 представлен профиль температуры в сечении рабочего участка.

Интегральные величины, полученные экспериментально в стационарном турбулентном неизотермическом потоке, представлены на рис.2 – 5.

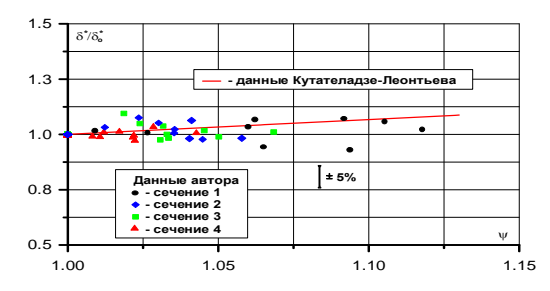


Рис. 2 - Безразмерная толщина вытеснения в зависимости от величины температурного фактора

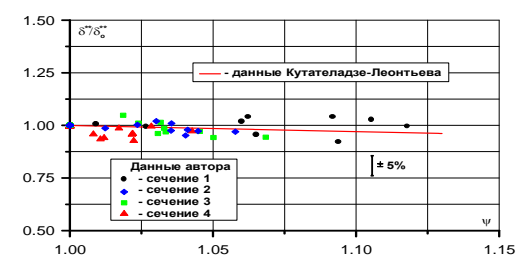


Рис. 3 - Безразмерная толщина потери импульса в зависимости от величины температурного фактора

Все величины отнесены к аналогичным, полученным в изотермическом турбулентном потоке (индекс «0») при равных числах Re^{**} [2]. Такой подход позволяет выявить характер влияния подвода тепла на интегральные характеристики пограничного слоя.

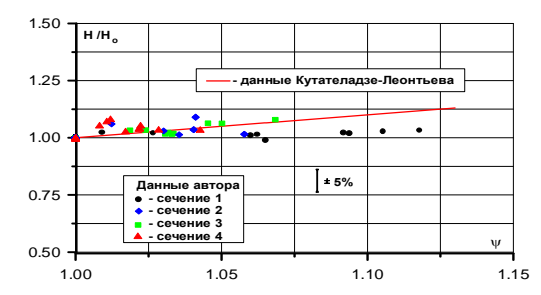


Рис. 4 - Формапараметр неизотермического потока в зависимости от величины температурного фактора

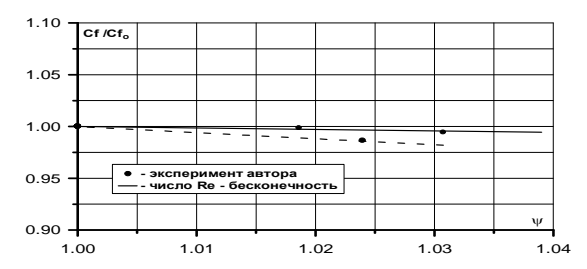


Рис. 5 - Безразмерный коэффициент трения в зависимости от величины температурного фактора

Данные на рисунках представлены в сравнении с расчетами, выполненными в соответствии с зависимостями, приведенными в [1],

полученными для неизотермического турбулентного потока в трубе с развитым динамическим и температурным пограничным слоем.

$$\frac{\boldsymbol{\delta}^*}{\boldsymbol{\delta}_0^*} = \boldsymbol{\psi}^{0.682} \tag{1}$$

$$\frac{\delta^{**}}{\delta_0^{**}} = \psi^{-0.318} \tag{2}$$

$$\frac{H}{H_0} = \psi \tag{3}$$

На рис.13 относительный коэффициент трения приведен в сравнении с зависимостями, приведенными в [1], где:

$$\frac{Cf}{Cf_0} = \left(\frac{2}{\sqrt{\psi - 8.2 \cdot (\psi - 1) \cdot \sqrt{\psi_{\infty} \cdot Cf_0} + 1}}\right) \quad (4)$$

$$\psi_{\infty} = \frac{Cf}{Cf_0} \bigg|_{\infty} = \left(\frac{2}{\sqrt{\psi} + 1}\right)^2 \tag{5}$$

 ψ_{∞} - безразмерный коэффициент трения при числе Re^* - бесконечность.

При изучении статистических характеристик потока, таких как коэффициент асимметрии и коэффициент эксцесса турбулентных пульсаций

скорости потока
$$A_i = \frac{\left< w_i'^3 \right>}{\left< w_i'^2 \right>^{3/2}}, \ E_i = \frac{\left< w_i'^4 \right>}{\left< w_i'^2 \right>^2}$$
 [2],

полученных в настоящих исследованиях, было отмечено, что их поведение отличается от поведения, предложенного авторами работы [8, 9]. В указывается, что максимум степени коэффициента турбулентности, смена знака асимметрии и экстремум коэффициента эксцесса приходится на область пересечения универсального логарифмического закона с линейным профилем скорости характерным для вязкого подслоя. Данное положение объяснялось тем, что в области перемежаемости имеет место равновероятное внедрение объемов жидкости с высокой (из ядра турбулентного пограничного слоя) и низкой (из области вязкого подслоя) скоростью. Данный метод определения границы вязкого подслоя с помощью интересным термоанемометра является поскольку анализ осредненной составляющей скорости потока, измеренной термоанемометром, затруднен в виду активного влияния стенки на его показания на таких расстояниях. Между тем, статистические характеристики турбулентных пульсаций скорости можно определить с помощью термоанемометра достаточно точно. Таким образом, с помощью представленного метода представляется возможным определять не толщину вязкого местоположение подслоя, a ядра перемежаемости.

Проведенное исследование стационарного турбулентного потока с подводом тепла и без, а также сравнение интегральных характеристик турбулентного пограничного слоя, полученных по результатам этого исследования, с результатами других авторов позволили:

- сделать вывод о корректности использованных в работе методик нахождения этих характеристик;
- получить основные соотношения для моделирования квазистационарных состояний потока по числу Re^{**} и параметру ψ ;

Литература

- 1. *Шлихтинг Г.*, «Теория пограничного слоя», М.: Наука, 1974 711 с.
- Шамсетдинов Ф.Н., Габитов И.Р., Зарипов З.И., Радаев А.В., Сабирзянов А.Н. Экспериментальная установка для исследования вязкости газонасыщенных жидких углеводородов при давлениях до 50 МПа // Вестник Казан. Технол. Ун-та. – 2013. №18 – С. 112-115.
- 3. Хадиев М.Б., Соколов Н.В., Федотов Е.М. Гидродинамические, тепловые и деформационные характеристики смазочных слоев упорных подшипников, профилированных скосом, параллельным радиальному межподушечному каналу // Вестник Казан. Технол. Ун-та. − 2013. №14 − С. 96-101.

[©] **С. В. Юшко** – д-р техн. наук, зав. каф. инженерной компьютерной графики и автоматизированного проектирования КНИТУ, s.v.yushko@gmail.com.